



کانسارهای لایه کران روی و سرب با سنگ میزبان رسوبی عمارت و موچان: داده‌های جدید و برداشت‌هایی از چگونگی پیدایش

سمانه فضلی، غلامحسین شمعانیان^{*}، بهنام شفیعی

گروه زمین‌شناسی، دانشکده علوم، دانشگاه گلستان

(دریافت مقاله: ۸۹/۹/۱، نسخه نهایی: ۹۰/۱/۲۰)

چکیده: کانسارهای روی و سرب عمارت و موچان در جنوب غرب اراک و در بخش میانی کمربند ملایر- اصفهان واقع شده‌اند. این کانسارها به صورت لایه کران درون سنگ‌های کربناتی وابسته به کرتاسه زیرین تشکیل شده‌اند. کانی‌سازی در این کانسارها بیشتر از نوع پرکننده‌ی فضای خالی و شامل اسفالریت، گالن، پیریت و مقادیر کمتر کالکوپیریت است که همراه با سیلیسی‌شدن سنگ دیواره رخ داده است. اسفالریت فراوان‌ترین کانی سولفیدی است که در دو مرحله تشکیل شده‌است. گالن به صورت فرعی همراه با اسفالریت و پس از آن تشکیل شد. بر اساس شواهد بافتی، سیلیسی‌شدن در دو مرحله مجرا رخ داده است. در مرحله اول، کوارتزهای ریز بلور به‌طور کامل جانشین سنگ میزبان کربناتی شده است. در طول مرحله دوم، فضای خالی و شکاف‌های بین سنگ دیواره سیلیسی با کوارتزهای درشت بلوری که همراه با کانی‌سازی بوده پر شد. داده‌های ایزوتوپی گوگرد نشان داد که مقادیر S^{34} کانی‌های سولفیدی از +۱۱٫۶ در هزار تغییر می‌کند. بر اساس این نتایج، به احتمال زیاد گوگرد مورد نیاز برای کانی‌سازی سولفیدها از آب دریای کرتاسه زیرین تأمین شده است. دمای ایزوتوپی دو جفت گالن- اسفالریت در کانسار عمارت از $121/1^{\circ}\text{C}$ در مرحله اول تا $112/8^{\circ}\text{C}$ در مرحله دوم تغییر می‌کند که از دمای ایزوتوپی کانسار موچان ($134/4^{\circ}\text{C}$) کمتر است. تلفیق نتایج زمین‌شناسی، کانی‌شناسی و ایزوتوپی گوگرد نشان می‌دهد که آب، فلزات و سیلیکا از دیاژنر شیل و ماسه سنگ‌های ژوراسیک مشتق شده‌اند. احیای گرمایی - شیمیایی سولفات، بر هم کنش محلول با سنگ دیواره و سرد شدن آن از مهم‌ترین ساز و کارهای نهشت کانسنگ بوده‌اند.

واژه‌های کلیدی: روی و سرب؛ سیلیسی‌شدن؛ ایزوتوپ گوگرد؛ ملایر- اصفهان؛ عمارت؛ موچان.

آهنگران [۳]، ایرانکوه [۴]، راونج [۵]، و رباط [۶] است.

کانسار عمارت با مختصات جغرافیایی $30^{\circ} 49' 49''$ طول شرقی و $50^{\circ} 33' 45''$ عرض شمالی در فاصله‌ی ۴۶ کیلومتری جنوب غربی اراک قرار دارد (شکل ۱- ب). این کانسار با ذخیره قطعی ۱۲,۵ میلیون تن و عیار میانگین ۵ درصد روی و ۲ درصد سرب [۷]، بزرگ‌ترین و مهم‌ترین کانسار روی و سرب در ناحیه‌ی معدنی جنوب اراک واقع در بخش میانی کمربند ملایر- اصفهان محسوب می‌شود. کانسار موچان با مختصات $36^{\circ} 49' 50''$ طول شرقی و $50^{\circ} 33' 50''$ عرض شمالی در فاصله‌ی ۲ کیلومتری

مقدمه
کمربند فلزی ای ملایر- اصفهان بخشی از زون سندنج- سیرجان است که با راستای شمال غرب- جنوب شرق و وسعت حدود ۳۰۰۰۰ کیلومترمربع [۱]، بین طول‌های جغرافیایی $45^{\circ} 48'$ و $52^{\circ} 34'$ در $32^{\circ} 45'$ و $30^{\circ} 52'$ و عرض‌های جغرافیایی $22^{\circ} 34'$ و $24^{\circ} 52'$ گرفته‌است (شکل ۱- الف). این ناحیه بخش عمده‌ای از استان‌های مرکزی، اصفهان و همدان و بخش کمتری از استان- های لرستان و چهارمحال و بختیاری را در بر می‌گیرد [۲] و میزبان تعداد زیادی کانسار و نشانه‌ی معدنی سرب و روی مانند

* نویسنده مسئول، تلفن: ۰۹۱۱۷۵۶۷۰۹، نامبر: ۴۴۲۷۰۴۰، پست الکترونیکی: shamanian@yahoo.com

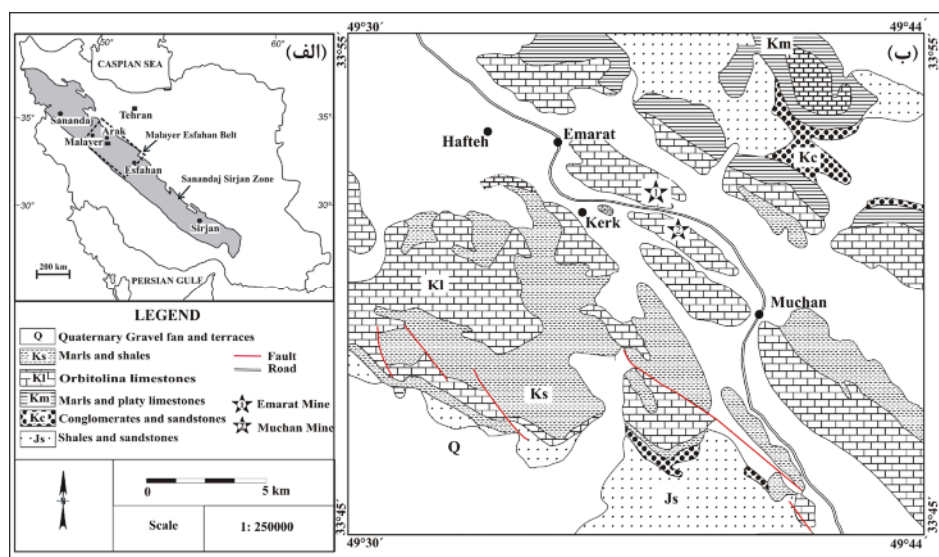
مناطق دگرسان به طور تصادفی نمونه برداری شد. بررسی‌های دقیق آزمایشگاهی شامل بررسی سنگ‌نگاری و کانی‌شناسی کانسنگ و سنگ میزبان، مجموعه‌های دگرسان و تجزیه ایزوتوپی گوگرد کانی‌های سولفیدی انجام گرفت. بررسی‌های بافتی و کانی‌شناسی به روش‌های مرسوم میکروسکوپی روی تعداد ۲۶ مقطع نازک و ۲۳ مقطع صیقلی انجام شد و ۴ مقطع از نمونه‌های حاوی کانی مجهول به روش پراش پرتو ایکس (XRD) از سوی شرکت کانساران بینالود شناسایی شدند. با تلفیق نتایج حاصل از بررسی‌های صحرایی و آزمایشگاهی دنباله‌ی پاراژنزی کانسار تعیین شد. برای اندازه‌گیری تغییرات ایزوتوپی در جفت کانی‌های سولفیدی، تعداد ۷ عدد نمونه از کانی‌های اسفالریت، گالن و پیریت در کانسارهای عمارت و موچان با استفاده از میکروسکوپ دوچشمی و با دست جداسازی شدند. کانی‌های سولفیدی در آزمایشگاه ایزوتوپی دانشگاه اوتاوا با استفاده از جریان پیوسته در بستری از گاز هلیوم به SO_2 تبدیل شد [۱۱] و با بیناب سنج جرمی عامل جدایشی توسط اوهموتو و گلدهابر [۱۲] محاسبه شد.

جنوب شرقی کانسار عمارت واقع شده‌است. این کانسار در گذشته با ذخیره‌ی اولیه ۳۰۰ هزار تن و عیار میانگین ۷/۱۲ درصد روی و ۱/۷۴ درصد سرب مورد بهره برداری قرار گرفته‌است و در حال حاضر بهدلیل عدم ذخیره کافی تعطیل است.

بررسی‌های قبلی انجام شده روی این کانسارها، بیشتر بر کانسار عمارت متمرکز بوده است که شامل بررسی‌های کانی‌شناسی [۸]، زمین‌شیمیایی [۹] و زمین-شیمی ایزوتوپی [۱۰] است و بررسی‌های گستره‌ای روی کانسار موچان انجام نشده‌است. در این مقاله کانی‌سازی در این دو کانسار بر پایه مشاهدات صحرایی، بررسی‌های میکروسکوپی و داده‌های ایزوتوپی گوگرد مورد مقایسه قرار گرفته‌است و چگونگی تغییرات ایزوتوپی گوگرد و دما در مراحل مختلف کانی‌سازی بررسی شده و الگویی برای تعیین خاستگاه این کانی‌سازی ارائه شده‌است.

روش بررسی

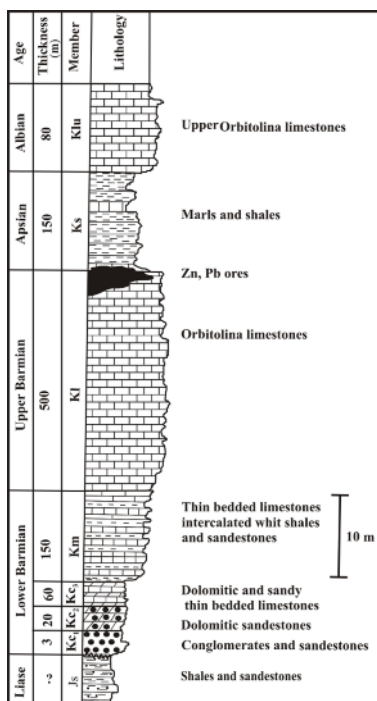
برای آگاهی از ماهیت کانی‌سازی در کانسارهای عمارت و موچان، بررسی‌ها در دو بخش صحرایی و آزمایشگاهی به انجام رسید. در بخش صحرایی، کلیه ویژگی‌های ساختی و بافتی و چگونگی ارتباط بین پدیده‌ها در رخمنونهای سطحی و زیرزمینی بررسی شدند و از رگه‌های معدنی، سنگ میزبان و



شکل ۱ (الف) موقعیت زون سنندج-سیرجان و کمربند ملایر-اصفهان (مستطیل خط چین) در ایران. گستره‌ی مورد بررسی با مستطیل سیاه رنگ نشان داده شده‌است. (ب) نقشه‌ی زمین‌شناسی ناحیه معدنی جنوب اراک از نقشه پایه [۱۸].

آلین (Klu) پوشیده شده است. واحدهای سنگ‌چینهای کرتاسه بر اثر حرکتهای کوهزایی لارامید و آلپی [۱۹] به شدت گسلیده و چین خورده است.

کانسارهای عمارت و موچان به ترتیب روی یالهای شمالی و جنوبی یک ناودیس برگشته با طول ۱/۵ کیلومتر و عرض متوسط ۵۰۰ متر [۱] و در میزبانی از سنگ‌های آهکی ضخیم لایه تا توده‌ای بخش K1 قرار دارند (شکل ۳). سنگ‌های آهکی بخش K1 دارای رنگ ظاهری خاکستری تیره و حاوی اوربیتولین است و در گروه آهک‌های بیومیکریتی قرار می‌گیرد. یکی از ویژگی‌های این بخش، سیلیسی شدن سنگ‌آهک به ویژه در بخش‌های بالایی و در مجاورت با بخش Ks است که بر این اساس به دو زیربخش K1 در پایین و K2 در بالا جدا شد. زیر بخش K2 دارای دگرسانی سیلیسی است که با نزدیک شدن به بخش شیلی و مارنی (Ks) بر شدت سیلیسی شدن افزوده می‌شود. بخش شیلی و مارنی Ks دارای بافت میکریتی و بیشتر از کلسیت، کوارتز آواری و پیریت‌های فرامبوییدی تشکیل یافته است. در منطقه‌ی مورد بررسی آثاری از فعالیت‌های آذرین مشاهده نشد. نزدیک‌ترین فعالیت‌های آذرین شامل سنگ‌های آتش‌فشاری رخمنون یافته در کانسار شمس‌آباد واقع در ۱۲ کیلومتری شرق منطقه‌ی مورد بررسی است [۱۹].

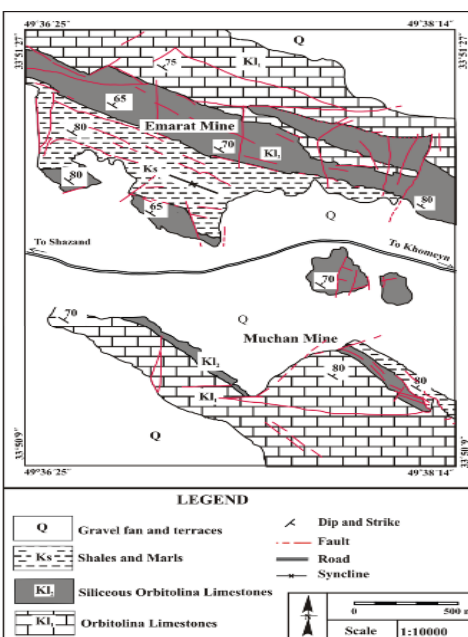


شکل ۲ دنباله‌ی چینه‌شناسی در ناحیه‌ی معدنی جنوب اراک با تغییرات از [۱].

بحث و بررسی زمین‌شناسی

زون سندنج- سیرجان که با طول حدود ۱۵۰۰ کیلومتر و عرض ۱۵۰ تا ۲۵۰ کیلومتر از غرب دریاچه‌ی ارومیه آغاز می‌شود و با راستای شمال غربی- جنوب شرقی تا گسل میناب در شمال بندرعباس ادامه می‌یابد [۱۳]، بر اثر همگرایی ورقه‌های آفریقا- عربی و اوراسیا تشکیل شده است [۱۴]. تکامل زمین ساختی این زون از نوع آندی و در ارتباط با بسته شدن اقیانوس نئوتیس از کرتاسه تا ترکیه ای است [۱۵، ۱۶]. کمریند فلززایی ملایر- اصفهان که بیشتر میزبان کانسارهای سرب و روی لایه کران با میزبان رسوی است، در بخش میانی زون سندنج- سیرجان قرار دارد (شکل ۱- الف). این کمریند طی کوهزایی‌های سیمیرین و آلپی تحت تأثیر نیروهای فشاری با راستای شمال شرقی- جنوب غربی قرار داشته که باعث چین خورده‌گی و گسلش طبقات شده است [۱۷].

بر اساس نقشه زمین‌شناسی گلپایگان [۱۸] (شکل ۱- ب) قدیمی‌ترین واحد چینه‌شناسی رخمنون یافته در ناحیه‌ی معدنی جنوب اراک، شیل‌های تیره رنگ با میان لایه‌های ماسه سنگی وابسته به ژوراسیک است (Js) که بر اثر عملکرد فاز کوهزایی سیمیرین میانی به شدت چین خورده و پس از یک دوره‌ی فرسایشی طولانی به وسیله‌ی رسوهای پیشرونده کرتاسه زیرین پوشیده شده است [۱۳]. رسوهای کرتاسه زیرین شامل کنگلومرا، ماسه سنگ و سنگ‌های آهکی- ماسه‌ای Kc₂, Kc₁, Kc (Kc) است و توسط مؤمن زاده [۱۷] به ۳ زیربخش Kc₃ تقسیم شده است (شکل ۲). روی این رسوهای مجموعه‌ای از سنگ‌های آهکی ورقه‌ای نازک لایه، شیل و سنگ‌های آهکی مارنی (Km) قرار دارد که با گذر تدریجی به سنگ‌های آهکی ضخیم لایه (K1) تبدیل می‌شود. بخش K1 شامل سنگ آهک ضخیم لایه تا توده‌ای حاوی اوربیتولین، ساقه کرینوئید، خرده‌های دوکفای و آثار جلبکی است که در یک محیط کم عمق تختگاهی تشکیل شده است [۱۸]. این بخش که میزبان کانی‌سازی سرب و روی است از زمان سنگ- شدگی دستخوش تغییراتی مانند انحلال و نهشت دوباره کربنات‌ها در طول شکستگی‌ها و درزه‌ها شده و گاه دستخوش دگرگونی بسیار ضعیف ناحیه‌ای شده که با تبلور دوباره کلسیت و سطوح مبهم شیستوزیته مشخص می‌شود [۱]. این بخش با مجموعه‌ای از سنگ‌های نازک لایه، شیل و مارن با سن آپسین (Ks) و سنگ‌های آهکی اوربیتولین دار با سن

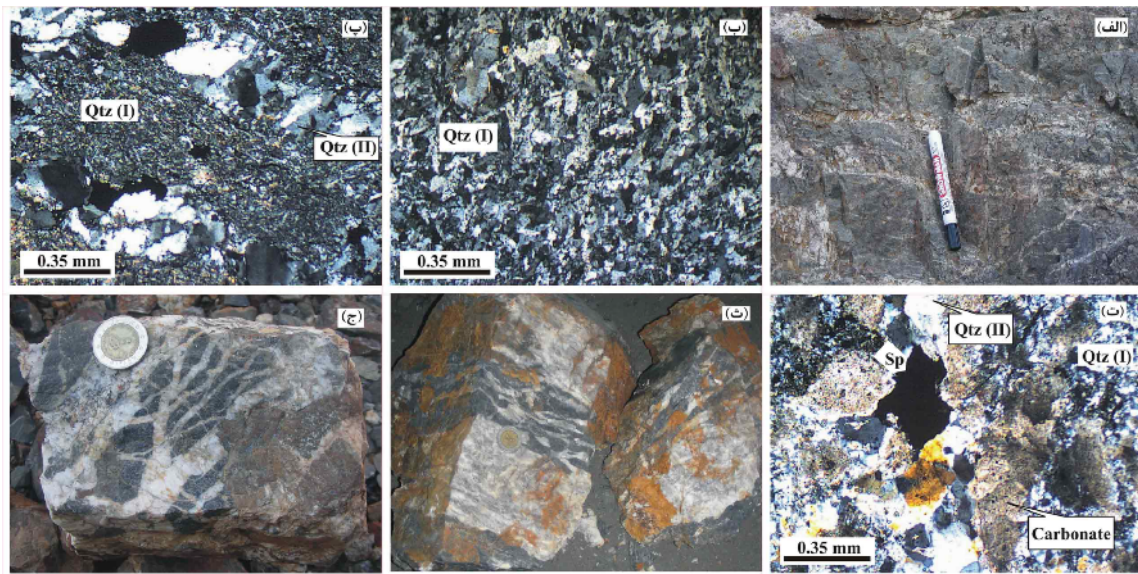


شکل ۳ نقشه زمین‌شناسی کانسارهای عمارت و موچان با اصلاحات از [۷].

سیلیکا شود. از این رو در کانسارهای مورد بررسی خاستگاه سیلیکای مورد نیاز برای این دگرسانی را می‌توان به شیل و ماسه سنگ‌های ژوراسیک نسبت داد. از طرفی، خاستگاه محلول‌های اسیدی مورد نیاز برای انحلال کربنات‌ها به احیای گرمایی-شیمیایی سولفات [۲۴، ۲۳]، دیاژنر مواد آلی [۲۵] و سرد شدن شورابه‌های غنی از CO_2 [۲۶] نسبت داده شده است. عامل اصلی جانشینی سنگ آهک مربوط به حضور CO_2 در محلول‌های غنی از سیلیکا است [۲۱] که خاستگاه آن به مواد آلی، انحلال کانی‌های کربناتی [۲۷] و هیدرولیز کانی‌های رسی طی فرایندهای دیاژنر [۲۸، ۲۹] نسبت داده شده است. از آنجا که در کانسارهای مورد بررسی شواهدی از گسترش مواد گرمایی-شیمیایی سولفات (شواهد ایزوتوبی گوگرد در این پژوهش) و شورابه‌های حاوی CO_2 حاصل از دیاژنر شیل‌های ژوراسیک باعث تشکیل محلول‌های اسیدی مورد نیاز برای انحلال سنگ‌های آهکی بخش KL شده که با مهاجرت به اعمق کمتر و سرد شدن تدریجی، انحلال گسترشده کربنات‌ها و نهشت کوارتز [۲۶] را در پی داشته است. بر اساس پلاملی و همکاران [۳۰] نهشت سیلیکا در کانسارهای MVT بر اثر رقیق‌شدنگی و سرد شدنگی محلول گرمایی روی می‌دهد که می‌تواند منجر به نهشت سیلیکا و کانی‌های سولفیدی شود.

دگرسانی سنگ میزبان

سیلیسی و دولومیتی شدن از دگرسانی‌های وابسته به کانی-سازی در دو کانسار عمارت و موچان است. گرچه دگرسانی سیلیسی از دگرسانی‌های نامعمول در اغلب کانسارهای سرب و روی نوع دره می‌سی‌سی‌پی (MVT) است [۲۰] ولی در کانسارهای مورد بررسی به عنوان دگرسانی اصلی محسوب می‌شود و بیشتر در بخش بالایی سنگ‌های آهکی بخش KL قرار دارد (شکل ۴-الف). بر پایه‌ی بررسی‌های صحرایی و سنگ نگاری حاضر، این دگرسانی در کانسارهای مورد بررسی در دو مرحله رخ داده است. مرحله‌ی اول شامل کوارتزهای ریز بلوری است که به شدت جانشین سنگ میزبان کربناتی شده (شکل ۴-ب، ت) و مرحله دوم شامل رگه و رگجه‌های کوارتزی با ضخامت ۱ میلی‌متر تا ۱/۵ متر است که سنگ میزبان سیلیسی شده را قطع کرده (شکل ۴-پ، ت) و اغلب با کانی‌سازی اسفالریت و گالن همراه است. بر اساس لورینگ [۲۱] سیلیسی شدن سنگ‌های آهکی می‌تواند نتیجه‌ی انحلال کربنات و تهنشست هم زمان سیلیس در بطن سنگ (همانند سیلیسی شدن مرحله‌ی اول)، پرشدنگی حفره‌ها و شکستگی‌ها با سیلیس (همانند سیلیسی شدن مرحله‌ی دوم) یا تلفیقی از هر دو رویداد باشد. تاکر [۲۲] نشان داده است که دیاژنر رس‌ها و انحلال فشاری ذرات سیلیس آواری می‌تواند باعث آزادسازی



شکل ۴ تصاویر صحرایی و میکروسکوپی از دگرسانی سیلیسی و برشی شدن در کانسارهای عمارت و موچان (الف) سنگ آهک به شدت سیلیسی شده در کانسار عمارت؛ ب) سیلیسی شدن مرحله اول در کانسار عمارت که باعث جانشینی کامل سنگ آهک با کوارتز شده است؛ پ) سیلیسی شدن مرحله دوم در کانسار عمارت که با وجود رگمه های کوارتزی در سنگ میزبان سیلیسی شده مشخص می شود؛ ت) سیلیسی شدن مرحله اول و دوم همراه با کانی سازی اسفالریت و کربنات های جانشین نشده در کانسار موچان؛ ث) برش انحلالی در کانسار عمارت؛ ج) برش گرمابی در کانسار موچان. اختصارات: (I) کوارتز مرحله اول، (II) Qtz: اسفالریت، Gn: گالن. تصاویر میکروسکوپی در با استفاده از نور قطبیده گرفته شده است.

کانی سازی

کانی سازی در کانسارهای عمارت و موچان بیشتر از نوع پرکننده فضای خالی است که به صورت لایه کران و با تظاهر رگچه و رگه در سنگ های کربناتی سیلیسی شده زیر بخش KL₂ رخداده است. کانی شناسی کانسنگ نسبتاً ساده و شامل کانی های سولفیدی اسفالریت، گالن، پیریت، کالکوپیریت و کانی های کوارتز، کلسیت و به مقدار کم باریت و دولومیت است. شواهد صحرایی، کانی شناسی و بافتی نشان دهنده تشابه دنباله ای پاراژنزی در این دو کانسار است (جدول ۱). بر اساس این شواهد، دنباله ای پاراژنزی دارای سه مرحله قبل از کانی سازی، مرحله اصلی و مرحله بعد از کانی سازی است. مرحله ای کانی سازی با حضور کانی های کلسیت، دولومیت، کوارتز در سنگ میزبان آهکی و پیریت های فرامبوبیدی در بخش شیلی KS مشخص می شود. مرحله ای اصلی شامل ۳ مرحله ای کانی سازی است که به رخداد و فراوانی کانی های سولفیدی وابستگی دارد. مرحله ای پس از کانی سازی بیشتر مربوط به رویدادهای بروندزاد وابسته است.

دولومیتی شدن یکی دیگر از دگرسانی های وابسته به کانی سازی در کانسارهای مورد بررسی است که به دلیل شدت دگرسانی سیلیسی از گسترش محدودی برخوردار است و آثار آن نامشخص است. به نظر کریم زاده [۸] این دگرسانی پیش از دگرسانی سیلیسی رخ داده است.

برشی شدن سنگ میزبان از پدیده های قابل مشاهده در کانسارهای عمارت و موچان است که به دو صورت انحلالی (شکل ۴-ث) و گرمابی (شکل ۴-ج) تظاهر دارد. تشکیل برش های انحلالی در کانسارهای مورد بررسی را که در کانسارهای MVT دیگر نیز گزارش شده است [۳۱] می توان بر اساس بررسی های کینگ و مونتجوی [۲۶] و آندرسون [۲۴] به حضور محلول های گرمابی غنی از CO₂ و احیای گرمابی - شیمیابی سولفات نسبت داد. برش های گرمابی موجود در این کانسارها در نتیجه های خردشده هیدرولیکی سنگ میزبان تشکیل شده است که با توجه به وجود قطعات زاویه دار، عدم دوران قطعات خردشده و تظاهر بافت موزاییکی با طرح پازل شناسایی شد. در هر دو نوع برش، فضای خالی بین قطعات توسط کوارتز، کلسیت و کانی های سولفیدی پر شده است.

جدول ۱ دنباله‌ی پاراژنری عمومی در دو کانسار روی و سرب عمارت و موچان.

Mineral	Pre- Mineralization Stage	Main Mineralization			Post- Mineralization Stage
		Stage I	Stage II	Stage III	
Dolomite	— — —				
Calcite	— — —				— — —
Quartz	— — —	— — —	— — —	— — —	
Framboidal Pyrite	— — — —				
Sphalerite		— — —	— — —		
Galena		— — —	— — —		
Chalcopyrite		— —			
Pyrite		— — —	— — —		
Barite				— — —	
Smithsonite				— — —	
Hydrozincite				— — —	
Hemimorphite				— — —	
Covelite				— — —	
Fe Oxides				— — —	
Isotopic Temperature:		Emarat ore deposit	121.1°C	112.8°C	
		Muchan ore deposit	134.3°C		

شکل‌دار همراه با تشکیل اسفالریت و گالن، و (۴) پیریت‌های شکل‌دار در حاشیه‌ی گالن و اسفالریت.

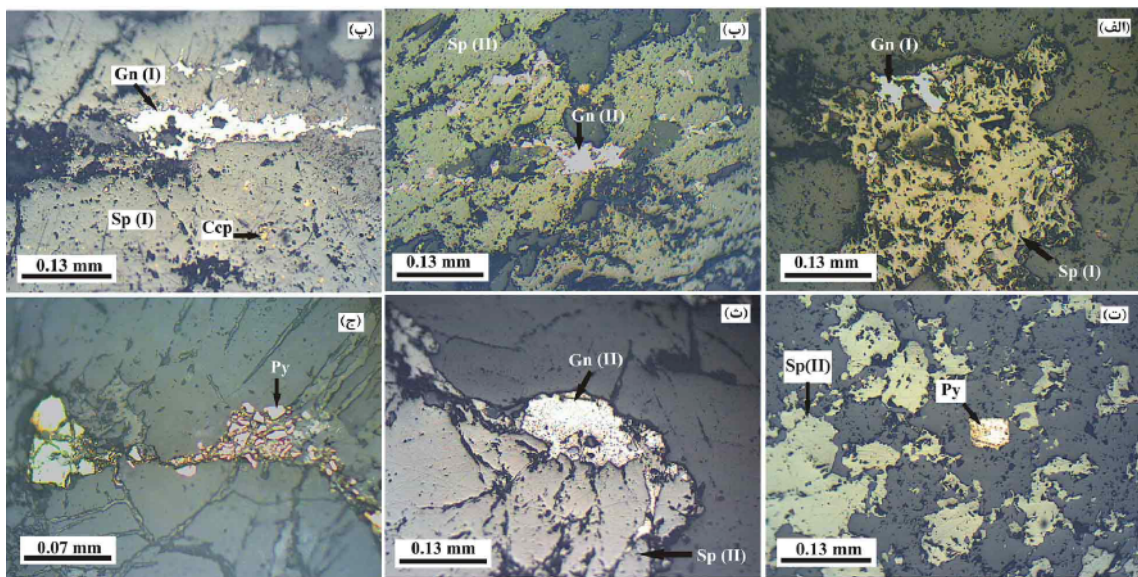
کالکوپیریت به صورت ادخال‌های ریز در برخی از اسفالریت‌های مرحله‌ی اول مشاهده شدند (شکل ۵-پ). بروونرانش کالکوپیریت در اسفالریت در دمای بالاتر از ۵۰۰°C می‌دهد [۳۲] که با توجه به عدم وجود چنین دماهایی در کانسارهای MVT می‌توان ادخال‌های کالکوپیریت را به برهم کنش محلول‌های غنی از مس با اسفالریت نسبت داد [۳۳].

کوارتز مهمترین کانی باطله کانسنسنگ است که با اندازه‌ی ۰،۰۲ تا ۰،۰۵ میلی‌متر طی دو مرحله تشکیل شده است. کوارتز‌های مرحله‌ی اول به صورت انباشت ریز بلور جانشین سنگ‌های آهکی شده است. کوارتزهای مرحله‌ی دوم که نسبت به کوارتزهای مرحله‌ی اول درشت تر و تقریباً دوکی شکل است به صورت پرکننده‌ی فضاهای خالی و شکستگی‌ها دیده می‌شود. کلسیت از دیگر کانی‌های باطله کانسنسنگ است که دارای اندازه‌ی ۰،۰۷ تا ۰،۰۵ میلی‌متر است. این کانی طی دو مرحله شامل مرحله‌ی پیش از کانی‌سازی با تظاهر افتشان تا رگه‌ای و مرحله‌ی پس از کانی‌سازی به صورت رگه‌ای رخ داده است. بر اساس بررسی‌های کانی‌شناسی به روش برتو ایکس کانی‌های اسمیت سونیت، هیدروزینسیت و همی‌مورفیت به عنوان فراورده‌های دگرسانی برونزاد شناسایی شد (شکل ۶).

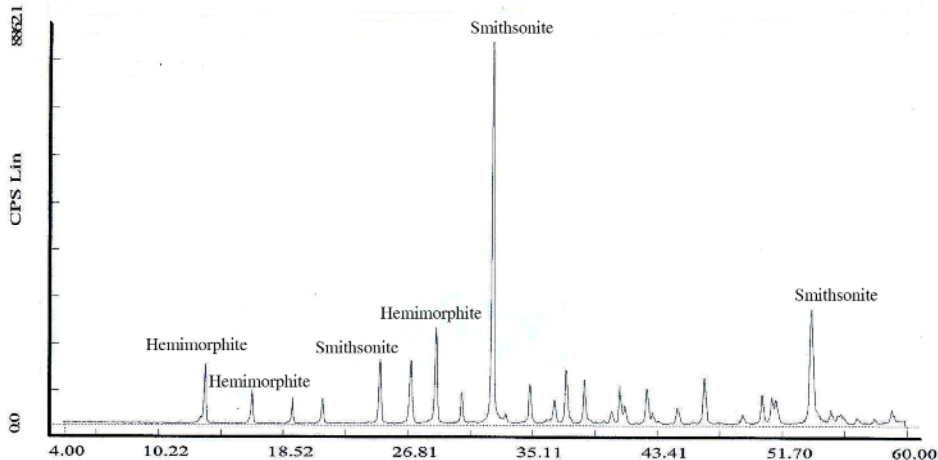
اسفالریت فراوان‌ترین کانی سولفیدی در هر دو کانسار مورد بررسی است که با اندازه‌ی ۰،۰۲ تا ۰،۰۳ میلی‌متر به صورت پرکننده‌ی حفره‌های و رگه‌ای مشاهده می‌شود. بر اساس این مشاهدات، اسفالریت طی دو مرحله تشکیل شده است. اسفالریت‌های مرحله‌ی اول (I) از نوع غنی از آهن است که با رنگ قهوه‌ای متمایل به سیاه، حاشیه‌ی سیاهرنگ و بازتاب داخلی قهوه‌ای مشخص می‌شود (شکل ۵-الف، پ). اسفالریت‌های مرحله‌ی دوم (II) از نوع فقیر از آهن است و قهوه‌ای عسلی رنگ با بازتاب داخلی زرد است (شکل ۵-ب، ت).

گالن با اندازه‌ی ۰،۰۱ تا ۰،۰۳ میلی‌متر به صورت پرکننده‌ی حفره‌ها و رگه‌ای تظاهر دارد. این کانی طی دو مرحله و هم زمان با اسفالریت مرحله‌ی اول (شکل ۵-الف، پ) و مرحله دوم (شکل ۵-ب) تشکیل شده و کانی‌سازی آن تا پس از اسفالریت ادامه یافته است (شکل ۵-ث). در برخی از بلورهای گالن اثر نیروهای فشارشی که با وجود رخهای منحنی شکل مشخص می‌شود، قابل مشاهده است.

کانی‌سازی پیریت به ۴ شکل متفاوت مشاهده شدند: (۱) پیریت‌های فرامبوییدی با تظاهر افشن و حداقل اندازه‌ی ۰،۰۲ میلی‌متر در واحد شیلی KS، (۲) پیریت‌های شکل دار (شکل ۵-ت) و با بافت کاتاکلاستیک (شکل ۵-ج) وابسته به پیش از کانی‌سازی گالن و اسفالریت، (۳) پیریت‌های شکل دار تا نیمه



شکل ۵ تصاویر میکروسکوپی از کانی‌های سولفیدی در کانسارهای عمارت و موچان. (الف) اسفالریت و گالن مرحله‌ی اول در کانسار عمارت؛ (ب) اسفالریت و گالن مرحله‌ی دوم در کانسار عمارت؛ (پ) اسفالریت و گالن مرحله‌ی اول و کالکوپیریت در کانسار موچان؛ (ث) اسفالریت مرحله‌ی دوم و پیریت قبل از کانی‌سازی در کانسار موچان؛ (ج) تشکیل گالن پس از اسفالریت در کانسار عمارت؛ (ج) پیریت کاتاکلاستیک در کانسار عمارت؛ اختصارهای: Sp: اسفالریت، Ccp: گالن، Py: پیریت، Gn: اسفالریت، I: مرحله اول، II: مرحله دوم. همه‌ی تصاویر در نور بازتابی عادی گرفته شده است.



شکل ۶ نمونه‌ای از نتایج کانی‌شناسی به روش XRD برای شناسایی کانی‌های بربنزا در کانسار عمارت.

بررسی در جدول ۲ خلاصه شده است. مقادیر $\delta^{34}\text{S}$ کانی‌های سولفیدی در دو کانسار عمارت و موچان از +۴/۸ در هزار تا +۱۱/۶ در هزار تغییر می‌کند. بیشترین مقدار $\delta^{34}\text{S}$ به اسفالریت‌های مرحله I در کانسار عمارت وابسته بوده و کمترین مقدار آن به گالن‌های مرحله I در کانسار موچان وابسته است (شکل ۷). در کانسار عمارت مقادیر $\delta^{34}\text{S}$ اسفالریت و گالن مرحله I بیشتر از مقادیر $\delta^{34}\text{S}$ اسفالریت و گالن مرحله II است به طوری که مقدار $\delta^{34}\text{S}$ از اسفالریت مرحله I به اسفالریت مرحله II و گالن مرحله II به گالن مرحله I

ترکیب ایزوتوپی گوگرد

پس از تعیین دنباله‌ی پاراژنزی کانی‌ها در کانسارهای مورد بررسی، جفت کانی‌های همزاد اسفالریت- گالن از مراحل اول (I) و دوم (II) کانی‌سازی در کانسار عمارت و مرحله‌ی اول (I) در کانسار موچان جداسازی و تجزیه شدند. این جفت کانی‌ها در مرحله‌ی دوم کانی‌سازی در کانسار موچان، به دلیل کوچک بودن اندازه‌ی کانی‌ها مورد بررسی قرار نگرفت. علاوه بر این، یک نمونه از پیریت نوع دوم در کانسار عمارت جداسازی و تجزیه شد. نتایج ترکیب ایزوتوپی گوگرد در کانی‌های مورد

که وجود مقادیر بالاتر $\delta^{34}\text{S}$ در اسفالریت نسبت به گالن معرف تعادل ایزوتوبی این دو کانی [۳۹] در هر دو کانسار مورد بررسی است.

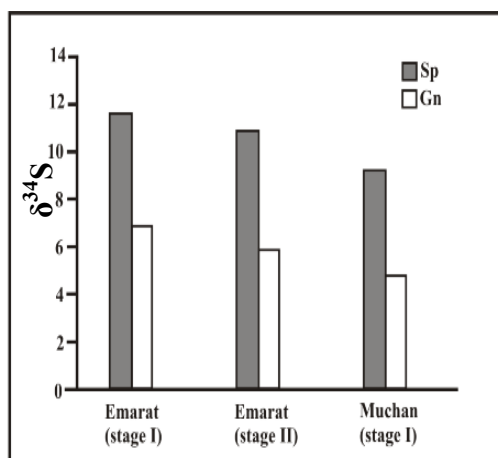
اختلاف در مقادیر $\delta^{34}\text{S}$ کانی‌های گوگرددار همزاد وابسته به دما است و با اندازه‌گیری ترکیب ایزوتوبی این کانی‌ها می‌توان دمای کانی‌سازی را تعیین کرد [۴۰]. در کانسارهای عمارت و موچان، از جفت کانی‌های اسفالریت و گالن همزاد، برای تعیین دما استفاده شد (جدول ۲). در کانسار عمارت دمای کانی‌سازی در مرحله‌ی اول و دوم به ترتیب $121/1^\circ\text{C}$ و $112/8^\circ\text{C}$ تعیین شد که نشانگر سردشدن محلول گرمابی به سمت مراحل پایانی کانی‌سازی است. در کانسار موچان دمای کانی‌سازی مرحله‌ی اول $134/3^\circ\text{C}$ به دست آمد که مقدار آن نسبت به مرحله مشابه خود در کانسار عمارت بیشتر است (شکل ۸).

ترتیب به اندازه‌ی $0/8$ و 1 در هزار کاهش می‌یابد. به نظر غضبان و همکاران [۴] و ولاسکو و همکاران [۳۴] می‌توان نتیجه گرفت که دامنه‌ی گسترده‌ی تغییرات ایزوتوبی گوگرد در کانسار عمارت نشان دهنده‌ی همگن بودن محلول گرمابی از نظر ترکیب ایزوتوبی و یکسان بودن خاستگاه گوگرد در طول ته نشست کانی است.

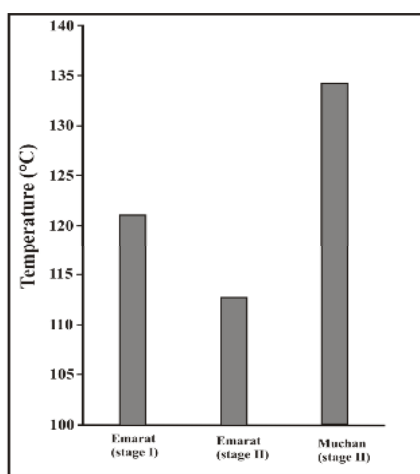
تهی‌شدگی مقدار ^{34}S در کانی‌های سولفیدی یک پاراژنز به ترتیب در پیریت، اسفالریت، کالکوپیریت و گالن افزایش می‌یابد [۳۵]. از طرفی تغییر در نسبت $^{32}\text{S}/^{34}\text{S}$ کانی‌های سولفیدی به قدرت نسبی پیوندهای آن‌ها وابسته است [۳۶] که به ترتیب در پیریت به سمت اسفالریت و گالن کاهش می‌یابد [۳۷] و موجب غنی‌شدگی ^{34}S در پیریت می‌شود [۳۶]. به این ترتیب، در کانسار عمارت وجود پیریت‌هایی با $\delta^{34}\text{S}$ سبک‌تر از اسفالریت می‌تواند معرف عدم تعادل ایزوتوبی این دو کانی [۳۸] و تشکیل آن‌ها در زمان و شرایط مختلف باشد. در حالی

جدول ۲ ترکیب ایزوتوبی گوگرد در کانی‌های سولفیدی و دمای ایزوتوبی محاسبه شده بر اساس این نتایج، عامل جدایش از [۱۲].

شماره نمونه	کانی	(در هزار)	$\delta^{34}\text{S}_{\text{CDT}}$	$\Delta^{34}\text{S}_{\text{Sph-Gn}}$	$T_{\text{Sph-Gn}} (\text{ }^\circ\text{C})$
کانسار عمارت					
E۱	اسفالریت (I) گالن (I)	+11/6 +6/۹	+4/۷	۱۲۱/۱	
E۲	اسفالریت (II) گالن (II)	+10/۸ +5/۹	+4/۹	۱۱۲/۸	
کانسار موچان					
E۶	اسفالریت (I) گالن (I)	+۹/۲ +۴/۸	+4/۴	۱۳۴/۳	
E۷	پیریت	+7/۷			



شکل ۷ تغییرات ایزوتوبی گوگرد ($\delta^{34}\text{S}$) در مراحل مختلف کانی‌سازی در کانسارهای عمارت و موچان.



شکل ۸ مقایسه‌ی دمای ایزوتوبی در کانسارهای عمارت و موچان.

کانسارهای عمارت و موچان، با توجه به دمای کانی‌سازی (۱۱۲,۸ تا ۱۳۴,۳ درجه‌ی سانتی‌گراد)، دامنه محدود تغییرات $\delta^{34}\text{S}$ (حداکثر ۱ درهزار) و تهی شدگی S^{34} به سمت مراحل پایانی کانی‌سازی، وقوع فرایند احیای باکتریایی سولفات‌یک نامحتمل است. فرایند احیای گرمایی-شیمیایی سولفات‌یک فرایند کند است که در دامنه‌ی دمایی ۱۰۰ تا ۱۴۰ درجه‌ی سانتی‌گراد باعث احیای سولفات‌ها می‌شود. گوگرد کاهیده ایجاد شده طی این فرایند نسبت به سولفات‌های اولیه به اندازه‌ی صفر تا ۲۰ در هزار تهی شدگی نشان می‌دهد [۵۱]. از آنجا که دامنه‌ی تغییرات $\delta^{34}\text{S}$ اسفالریت نسبت به آب دریای کرتاسه زیرین، در حدود ۱۰ در هزار کمتر است، به نظر می‌رسد که گوگرد کاهیده مورد نیاز برای تشکیل کانی‌های سولفیدی طی فرایند احیای گرمایی-شیمیایی سولفات‌یک شده است. دمای ایزوتوبی محاسبه شده برای کانسارهای مورد بررسی (۱۱۲,۸ تا ۱۳۴,۳ درجه‌ی سانتی‌گراد) و شواهد بافتی مانند عدم وجود بافت کلوفورمی در اسفالریت [۵۰]، مؤید رخداد این فرایند در کانسارهای مورد بررسی است. علاوه بر این، پیریت‌های فرامبوییدی موجود در لایه‌های شیلی بخش KS می‌توانسته باعث احیای سولفات‌یک محلول گرمایی شود که نباید نقش آن را از نظر دور داشت.

برداشت

کانسارهای سرب و روی با میزبان سنگ رسویی دارای چهار زیر رده اصلی شامل کانسارهای نوع دره می‌سی‌سی‌بی (MVT)، رسویی-بروندمی (SEDEX)، ماسه سنگی- سرب (Sst-Pb) و کانسارهای سرب با میزبان ماسه سنگی است [۲۰]. نتایج حاصل از بررسی‌های صحرایی و میکروسکوپی در کانسارهای

خاستگاه احتمالی گوگرد مورد نیاز برای کانی‌سازی کانی‌های سولفیدی در کانسارهای نوع MVT به آب دریا [۴۱]، سولفات‌های تبخیری موجود در دنباله‌ی چینه‌شناسی [۴۱] و تجزیه ترکیب‌های گوگرددار موجود در هیدروکربن‌ها [۱۲] و ترکیب‌های سولفیدی از قبل موجود در سنگ میزبان مانند پیریت [۴۲] نسبت داده شده است. در کانسارهای عمارت و موچان شواهد زمین‌شناسی مبنی بر وجود سولفات‌های تبخیری در دنباله‌ی چینه‌شناسی و ترکیب‌های آلی در توده‌یمعدنی مشاهده نشد. با توجه به مقدار $\delta^{34}\text{S}$ آب دریای کرتاسه زیرین که از ۱۵,۳ تا ۲۰,۲ در هزار تغییر می‌کند [۴۳] و با توجه به ترکیب ایزوتوبی گوگرد در کانی‌های مورد بررسی، سولفات‌آب دریای کرتاسه زیرین را می‌توان به عنوان خاستگاه احتمالی گوگرد در نظر گرفت. علاوه بر این، وجود پیریت‌های فرامبوییدی در بخش شیلی KS پیشنهاد کننده‌ی نقش این کانی به عنوان یکی دیگر از خاستگاه‌های احتمالی تأمین کننده‌ی گوگرد است.

احیای سولفات و تولید گوگرد کاهیده مورد نیاز برای تشکیل کانی‌های سولفیدی با استفاده از دو فرایند احیای باکتریایی سولفات و احیای گرمایی-شیمیایی سولفات صورت می‌گیرد [۴۴]. مناسب‌ترین دما برای فعالیت باکتری‌ها و احیای باکتریایی سولفات ۳۰ تا ۴۵ درجه‌ی سانتی‌گراد [۴۵] و بندرت به دمای ۱۱۰ درجه‌ی سانتی‌گراد [۴۶] می‌رسد. بر اثر این فرایند، مقادیر $\delta^{34}\text{S}$ کانی‌های سولفیدی نسبت به آب دریای محبوس در ذرات رسویی به اندازه‌ی $+_{\text{۳}}^{\text{۴}}\text{۵}$ تا $+_{\text{۴}}^{\text{۴}}\text{۰}$ در هزار سبک‌تر شده [۴۷] و دامنه‌ی گستره‌ای از تغییرات را نشان می‌دهد [۴۸] که در سیستم‌های بسته به سمت مراحل پایانی کانی‌سازی با غنی شدگی S^{34} همراه است [۴۹,۵۰]. در

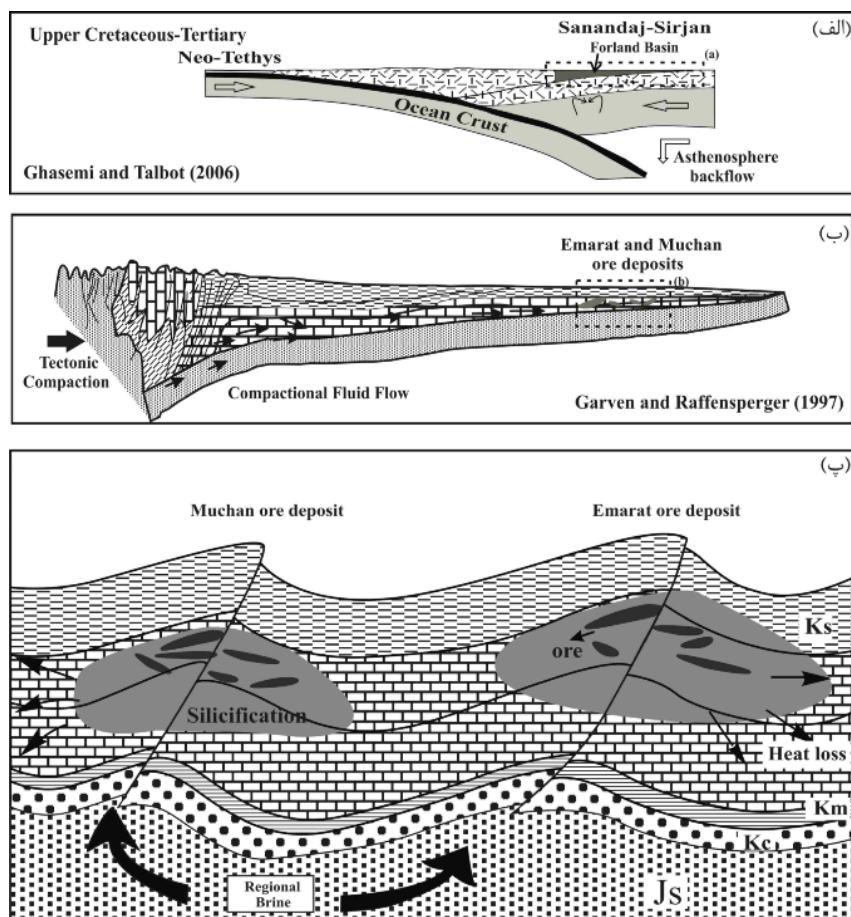
سیرجان همزمان با فعال بودن رویداد فرورانش (احتمالاً تا افسن، [۱۶]) در این زون تشکیل شده‌اند، توجه به نقش این رویداد در فلزیابی کانسارهای سرب و روی ضرورت دارد. این رویداد ضمن فشردگی واحدهای سنگ چینه‌ای مختلف از جمله شیل و ماسه سنگ‌های ژوراسیک باعث گرم و پویا شدن آبهای فسیلی و آزاد شدن CO_2 ، سیلیکا و فلزات طی دیاژنز کانی‌های رسی و ذرات سیلیس آواری شده است که با نتایج بررسی‌های ایزوتوپی سرب در کانسار عمارت [۶۰] در مورد خاستگاه پوسته‌ای فلزات همخوانی دارد. شورابه‌های غنی از فلز، سیلیکا و CO_2 با مهاجرت به لایه‌های با نفوذپذیری بیشتر و برخورد با سنگ‌های آهکی بخش KI (شکل ۹-ب)، در نتیجه احیای گرمایی-شیمیایی سولفات و سردشدن محلول گرمایی باعث اتحلال کربنات‌ها و تنهشست سیلیکا شده‌است (شکل ۹-پ). شواهد صحرایی، کانی‌شناسی و داده‌های ایزوتوپی گوگرد در کانسارهای مورد بررسی پیشنهاد کننده‌ی انتقال فلزات و سولفات‌ها از سوی یک محلول به محل نهشت (بخش KI) و تهشیت فلزات بر اثر فرایندهای احیای گرمایی-شیمیایی سولفات، بر هم کنش محلول با سنگ دیواره و سردشدن آن است. کانی‌سازی اسفالریت و گالن در طرح دو مرحله و تنواع بافتی پیریت‌ها پیشنهاد کننده‌ی چند گامهای بودن فرایندهای کانی‌سازی در کانسارهای مورد بررسی است [با ۴۲ مقایسه شود].

عمارت و موچان از قبیل لایه کران بودن ماده‌ی معدنی، سنگ میزبان کربناتی، عدم وجود توده‌ی نفوذی پیرامون کانسار و کانی‌شناسی نسبتاً ساده و مقایسه این کانسارها با کانسارهای نظیر ایرانکوه در ایران [۴]، تری استیت در آمریکا [۲۰] و فلوریدا کانیون در پرو [۵۰]، نشانگر وابستگی کانسارهای مورد MVT است (جدول ۳). کانسارهای MVT بررسی به زیردهی MVT از شورابه‌های وابسته به رویدادهای زمین‌ساخت پوسته‌ای [۵۳,۵۲] و اغلب در پیش‌بوم‌های کوهزایی تشکیل می‌شوند [۵۴]. به نظر بردلی و لیچ [۵۴] پیش‌بوم‌های کوهزایی به سه نوع برخوردي، آندی و معکوس تقسیم شده است. شورابه‌ها در این پیش‌بوم‌ها بر اساس الگوی جریان شاره‌ی مشتق از جاذبه [۵۲]، الگوی رسوبی-دیاژنتیک [۵۳,۵۶] و الگوی همرفتی-گرمایی [۵۷] از خاستگاه به مکان تنهشست مهاجرت می‌یابند. خاستگاه احتمالی فلزات در این کانسارها به شیل‌ها [۵۸] و تخریب دیاژنتیک فلدسپات پتاسیک، میکاها و کانی‌های رسی در این سنگ‌ها نسبت داده شده است [۵۹].

با توجه به موقعیت کانسارهای عمارت و موچان در زون زمین‌ساختی سندج-سیرجان، تشکیل کانسارهای مورد بررسی را می‌توان به رویدادهای زمین‌ساختی وابسته به همگرایی ورقه‌های عربی و ایران و بسته شدن اقیانوس نئوتیس در پیش‌بوم نوع آندی نسبت داد (شکل ۹-الف). از آنجا که کانسارهای دیگر سرب و روی موجود در زون سندج-

جدول ۳ مقایسه‌ی ویژگی‌های زمین‌شناسی، کانی‌شناسی، دگرسانی و ایزوتوپی گوگرد در کانسارهای فلوریدا کانیون، تری استیت و ایرانکوه با کانسارهای عمارت و موچان.

نام کانسار (شور) (منبع)	فلوریدا کانیون (پرو) [۵۰]	تری استیت (آمریکا) [۲۰]	ایرانکوه (ایران) [۴]	عمارت (ایران) [این مقاله]	موچان (ایران) [این مقاله]	ویژگی‌ها
سنگ میزبان	سنگ‌های کربناتی تربیض بالایی-ژوراسیک	سنگ‌های کربناتی	سنگ‌های کربناتی کرتنه نژدان	سنگ‌های کربناتی کرتنه نژدان	سنگ‌های آهکی کرتنه نژدان	
دگرسانی	دلوهمیتی شدن	دلوهمیتی شدن + سیلیسی شدن	دلوهمیتی شدن	سیلیسی شدن + دلوهمیتی شدن	سیلیسی شدن + دلوهمیتی شدن	
کانی فلزی	لسکالریت- گالن- پیریت- سیدریت	لسکالریت- گالن- پیریت- مارکلیت	لسکالریت- گالن- پیریت- کالکوپیریت	لسکالریت- گالن- پیریت- کالکوپیریت	لسکالریت- گالن- پیریت- کالکوپیریت	
$\delta^{34}\text{S}$ Sp (%)	$\text{Sp} (\text{I}) = -12/7 \text{ تا} +12/2$ $\text{Sp} (\text{II}) = -0/3 \text{ تا} +17/6$	-۵/۵ تا +۴/۴	-۱۱ تا +۲	$\text{Sp} (\text{I}) = +11/6$ $\text{Sp} (\text{II}) = +10/8$	سولافات آب دریا	Sp (I)=+۹/۲
منشاء گوگرد	سولافات تبخیری‌ها	سولافات آب دریا (۵)	سولافات آب دریا	سولافات آب دریا	سولافات آب دریا	
فرایند مؤثر در احیاء گوگرد	احیاء حرارتی- شیمیایی + احیاء باکتریایی	احیاء حرارتی- شیمیایی	احیاء حرارتی- شیمیایی	احیاء حرارتی- شیمیایی	احیاء حرارتی- شیمیایی	
دما	۱۲۴°C	۱۱۲/۱ تا ۱۲۱/۸°C	۲۱۵°C	۸۰ تا ۱۳۴/۲°C	۱۲۴°C	۱۲۴/۳°C



شکل ۹ مدل پیشنهادی از شکل‌گیری کانسارهای عمارت و موچان. (الف) همگرایی ورقهای عربی و ایران و بسته‌شدن اقیانوس نئوتیس در پیش‌بوم نوع آندی [اقتباس از ۱۶]. ب) بزرگنمایی گستره (a) در شکل الف: فشردگی زمین‌ساختی واحدهای سنگ‌چینهای و تشکیل شورابه‌های غنی از فلز، سیلیکا و CO₂ [با تغییرات از ۶۱]. پ) بزرگنمایی گستره (b) در شکل ب: مهاجرت شورابه‌ها به سمت سنگ‌های آهکی بخش K1، گسترش دگرسانی سیلیسی و نهشت سولفیدها. اختصارها: JS: شیل و ماسه‌سنگ‌های ژوراسیک؛ Kc: کنگلومرا و ماسه‌سنگ؛ Km: مارن و سنگ آهک؛ K1: سنگ‌آهک‌های اوربیتولین دار؛ Ks: مارن و شیل.

the Irankuh District, Esfahan Area, West-Central Iran", Economic Geology 89 (1994) 1262-1278.

[۵] علی‌آبدی م.ع، "بررسی زمین شیمیایی، کانی‌شناختی و منشاء سرب-نقره راونج دلیجان"، پایان نامه کارشناسی ارشد، دانشگاه شیراز (۱۳۷۹) ۲۰۷ ص.

[۶] آدابی م.ح، جمالیان م، "شناسایی ترکیب کانی‌شناختی اولیه و نحوه کانسارسازی در کربنات‌های کانسار رباط (خمین-اراک)", فصلنامه علوم زمین، شماره ۶۶ (۱۳۸۶) ص ۲۳-۲.

[۷] فرجی ک، "طرح بهره برداری از کانسار سرب و روی عمارت، گزارش شرکت صنعتی و معنی شاهین (۱۳۸۷) ۳۰ ص.

مراجع

- [۱] رحیم پور بناب ح، "بررسی کانسارهای سرب و روی ناحیه اراک"، پایان نامه کارشناسی ارشد، دانشگاه تهران (۱۳۷۰) ۱۸۵ ص.
- [۲] قربانی م، تاجبخش پ، خویی ن، "کانسارهای سرب و روی در ایران"، سازمان زمین‌شناسی و معنی کشور (۱۳۷۹) ۵۱۲ ص.
- [۳] Momenzadeh M., Shafiqi S., Rastad E., Amstutz G.C., "The Ahangaran Lead-Silvar deposit, SE-Malayer, west central Iran", Mineralium Deposita 3 (1979) 323-341.
- [۴] Ghazban F., McNutt R.H., Schwarcz H.P., "Genesis of sediment-hosted Zn-Pb-Ba deposits in

- [۱۹] سهندی م., حسینی دوست س.ج., رادفر ج., مجله بـلورـشـنـاسـی و کـانـیـشـنـاسـیـ اـیرـانـ، ۱۰۰۰۰: ۱: شـازـنـدـ و گـزـرـشـ آـنـ، سـازـمانـ زـمـينـشـنـاسـیـ و اـكتـشـافـاتـ مـعدـنـیـ کـشـورـ (۱۳۸۵).
- [۲۰] Leach D.L., Sangster D.F., Kelley K.D., Large R.R., Garven G., Allen C.R., Gutzmer J., Walters S., "Sediment-hosted lead-zinc deposits: a global perspective", In: Hedenquist J.W., Thompson J. F.H., Goldfarb R.J., Richards J.P. (eds) Economic Geology 100th Anniversary, Society of Economic Geology Inc (2005) 561- 607.
- [۲۱] Lovering T.G., "The origin of jasperoid in limestone", Economic Geology 57 (1962) 861-889.
- [۲۲] تاکر م., ترجمه موسوی حرمنی ر., "سنگ-شناصی رسوبی", جهاد دانشگاهی مشهد (۱۳۸۳) ۴۸۲.
- [۲۳] Anderson G.M., Garven G., "Sulfate-sulfide-carbonate associationins Mississippi Valley-type lead-zinc deposits", Economic Geology 82 (1987) 482-488.
- [۲۴] Anderson G.M., "Some geochemical aspects of sulphide precipitation in carbonate rocks", In: Kisvarsanyi G., Grant S.K., Pratt W.P., Keonig J.W. (eds) International conference on Mississippi Valley type lead-zinc deposits Proceedings volume: Rolla, University of Missouri-Rolla Press (1983) 61-76.
- [۲۵] Powell T.G., Macqueen R.W., "Precipitation of sulfide ores and organic matter: Sulfate reactions at Pine Point, Canada", Science 224 (1984) 63-66.
- [۲۶] Qing H., Mountjoy E.W., "Origin of Dissolution Vugs, Caverns, and Breccias in the Middle Devonian Presqu'ile Barrier, Host of Pine Point Mississippi Valley-Type Deposits", Economic Geology 89 (1994) 858-876.
- [۲۷] Machel H.G., "Saddle dolomite as a by-product of chemical compaction and thermo-chemical sulfate reduction", Geology 15 (1987) 936-940.
- [۲۸] Hutchcon I., Abercrombie H., "Carbon dioxide in clastic rocks and silicate hydrolysis" Geology 18 (1990) 541-544.
- [۲۹] Hutchcon I., "Sources of CO₂, organic acids and H₂S during diagenesis and their influence on carbonate dissolution, in Subsurface dissolution porosity in carbonates-recognition, causes and implications", American Association of Petroleum Geologists and Canadian Society of Petroleum Geologists Short Course Notes, part 2 (1992) 20.
- [۳۰] کریمزاده ع.ر., "بررسی تیپ، ارتباط کانیشناصی، ژئوشیمیایی و زنر احتمالی کانسار سرب و روی عمارت، پایان نامه کارشناسی ارشد، دانشگاه تهران (۱۳۷۱) ۳۰۴.
- [۳۱] ونایی م., "ویژگی های ساختی، بافتی و ژئوشیمیایی کانسار سرب و روی عمارت- اراک", پایان نامه کارشناسی ارشد، دانشگاه شهید باهنر کرمان (۱۳۷۷) ۱۶۸.
- [۳۲] احیا ف., "ژئوشیمی و منشاء کانسارهای سرب و روی عمارت و باباقله، جنوب اراک", پایان نامه دکتری دانشگاه آزاد اسلامی، واحد علوم و تحقیقات، (۱۳۸۷) ۱۷۸.
- [۳۳] Ueda A., Krouse H.R., "Direct conversion of sulphide and sulphate minerals to SO₂ for isotope analyses", Geochemical Journal 20 (1986) 209-212.
- [۳۴] Ohmoto H., Goldhaber M.B., "Sulphur and carbon isotopes", In: Barnes H.L. (ed) Geochemistry of hydrothermal ore deposits, third ed. John Wiley & Sons Ltd (1997) 517- 611.
- [۳۵] آقا نباتی ع., "زمین‌شناصی ایران", سازمان زمین‌شناصی و اکتشافات معدنی کشور (۱۳۸۳) ۶۰۶.
- [۳۶] Ghalamghash J., Nedelec A., Bellon H., Vousoughi Abedini M., Bouchez J.L., "The Urumieh plutonic complex (NW Iran): A record of the geodynamic evolution of the Sanandaj-Sirjan zone during Cretaceous times – Part I: Petrogenesis and K/Ar dating", Journal of Asian Earth Sciences 35 (2009) 401- 415.
- [۳۷] Mohajjal M., Fergusson C.L., Sahandic M.R., "Cretaceous-Tertiary convergence and continental collision Sanandaj-Sirjan Zone, western Iran", Journal of Asian Earth Sciences 21 (2003) 397-412.
- [۳۸] Ghasemi A., Talbot C.J., "A new tectonic scenario for the Sanandaj-Sirjan Zone (Iran)", Journal of Asian Earth Sciences 26 (2006) 683-693.
- [۳۹] Momenzadeh M., "Stratabound lead-zinc ores in the Lower Cretaceous and Jurassic sediments in the Malayer-Esfahan district (west central Iran), lithology, metal content, zonation and genesis", Ph.D. Thesis, Heidelberg University (1976) 300.
- [۴۰] Thiele O., Alavi M., Assefi A., Hushmandzadeh A., Seyed-Emami K., Zahedi M., "Exploratory text of the Golpaygan quadrangle map no. E7. Scale 1:250000", Geological Survey of Iran (1968) 24.

- isotope studies", Economic Geology* 95 (2000) 19-40.
- [43] Paytan A., Kastner M., Campbell D., Thiemens M.H., "Seawater sulfur isotope fluctuations in the Cretaceous", *Science* 304 (2004) 1663-1665.
- [44] Hofes J., "Stable isotope geochemistry", 5th ed. Berlin, Springer-verlage (2004) 244.
- [45] Orr W.L., "Changes in sulfur content and isotopic ratios of sulfur during petroleum maturation study of Big Horn basin Palaeozoic oils", *American Association of Petroleum Geologists Bulletin* 58 (1974) 2295-2318.
- [46] Qrgensen B.B., Isaksen M.F., Jannasch H.W., "Bacterial sulfat reduction above 100°C in deep-sea hydrothermal vent sediment", *Scince* 258 (1992) 1756-1757.
- [47] Ohmoto H., Rye R.O., "Isotopes of sulphur and carbon", In: Barnes H.L. (ed) *Geochemistry of Hydrothermal Ore Deposits*, second ed. John Wiley & Sons Ltd (1979) 509-567.
- [48] Sasaki A., Krouse, H.R., "Sulfur isotopes and the pine point lead-zinc Mineralization", *Economic Geology* 64 (1969) 718-730.
- [49] Sshwarez H.P., Burnie S.W., "Influence of sedimentary environment on sulfur isotope ratios in clastic rock: a review", *Mineralium deposita* 8 (1973) 264-277.
- [50] Basuki N.I., Taylor B.E., Spooner E.T.C., "Sulfur Isotope Evidence for Thermochemical Reduction of Dissolved Sulfate in Mississippi Valley-Type Zinc-Lead Mineralization, Bongara Area, Northern Peru", *Economic Geology* 103(2008) 783-799.
- [51] Machel H.G., Krouse, H.R., Sassen, R., "Products and distinguishing criteria of bacterial and thermochemical sulfate reduction", *Applied Geochemistry* 10 (1995) 373-389.
- [52] Garven G., "The role of regional fluid flow in the genesis of the Pine Point deposit, Western Canada sedimentary basin", *Geology* 80 (1985) 307- 324.
- [53] Oliver J., "Fluids expelled tectonically from orogenic belts: Their role in hydrocarbon migration and other geologic phenomena", *Geology* 14 (1986) 99-102.
- [54] Bradle D.C., Leach D.L., "Tectonic controls of Mississippi Valley-type lead-zinc mineralization in orogenic forelands", *Mineralium Deposita* 38 (2003) 652-667.
- [30] Plumlee G.S., Leach D.L., Hofstra A.H., Landis G.P., Rowan E.I., Viets J.G., "Chemical reaction path modeling of ore deposition in Mississippi valley-type Pb-Zn deposits of the Ozark region, U.S. mid-continent", *Economic Geology* 89 (1994) 1361-1383.
- [31] Corbella M., Ayora C., Cardellach E., "Hydrothermal mixing, carbonate dissolution and sulfide precipitation in Mississippi Valley-type deposits", *Mineralium Deposita* 39 (2004) 344-357.
- [32] Craige J.R., Vaughan D.J., "Ore microscopy and ore petrography", John Wiley & Sons Ltd (1981) 412.
- [33] Hutchison M.N., Scott S.D., "Sphalerite Geobarometry in the Cu-Fe-Zn-S system", *Economic Geology* 76 (1981) 143- 153.
- [34] Velasco F., Herrero J.M., Yusta I., Alonso J.A., Seibold I., Leach D., "Geology and Geochemistry of the Reocin Zinc-Lead Deposit, Basque-Cantabrian Basin, Northern Spain", *Economic Geology* 98 (2003) 1371-1396.
- [35] Grootenboer J., SCHWARTZ H.P., "Experimentally determined sulfur isotope fractions between sulfide minerals", *Earth and Planetary Science Letters* 7 (1969) 162-166.
- [36] Bachinski D.J., "Bond Strength and sulfur isotopic fractionation in coexisting sulfides", *Economic Geology* 64 (1969) 56-65.
- [37] Ladd M.F.C., Lee W.H., "Lattice energies and related topics", *Progress in Solid State Chemistry* 1 (1964) 37- 82.
- [38] Anderson I.K., Ashton J.H., Boyce A.J., Fallick A.E., Russell M.J., "Ore depositional processes in the Navan Zn-Pb Deposit, Ireland", *Economic Geology* 93 (1998) 535-563.
- [39] Stanton R.L., Rafter T.A., "Sulfur isotope in co-existing galena and sphalerite from Broken Hill, New South Wales", *Economic Geology* 62 (1967) 1088-1091.
- [40] Ohmoto H., "Systematics of sulfur and carbon isotopes in hydrothermal ore deposits", *Economic Geology* 67 (1972) 551-578.
- [41] Rye O.R., Ohmoto H., "Sulfur and carbon isotopes and ore genesis: a review", *Economic Geology* 69 (1974) 826-842.
- [42] Gomes F.F., Both R.A., Mangas, J., Arribas A., "Metallogenesis of Zn-Pb carbonate-hosted mineralization in the Southeastern Region of the Picos de Europa (Central Northern Spain) Province: geologic, fluid inclusion, and stable

- [59] Hanor J.S., "The sedimentary genesis of hydrothermal fluids", In: Barnes H.L. (ed) Geochemistry of Hydrothermal Ore Deposits, second ed. John Wiley & Sons Ltd (1979) 137-142.
- [60] Ehya F., Lotfi M., Rasa I., "Emarat carbonate-hosted Zn-Pb deposit, Markazi Province, Iran: A geological, mineralogical and isotopic (S, Pb) study", Journal of Asian Earth Sciences 37 (2010) 186-194.
- [61] Garven G., Raffensperger J.P., "Hydrogeology and Geochemistry of Ore Genesis in Sedimentary Basins", In: Barnes H.L. (ed) Geochemistry of hydrothermal ore deposits, third ed. John Wiley & Sons Ltd (1997) 125- 190.
- [55] Jackson S.A., Beales F.W., "An aspect of sedimentary basinal evolution: The concentration of Mississippi Valley-type ores during the late stages of diagenesis", Canadian Petroleum Geology Bulletin 15 (1967) 383-433.
- [56] Bethke C.M., "A numerical model of compaction-driven groundwater flow and heat transfer and its application to the paleohydrology of intracratonic sedimentary basins", Journal of Geophysical Research 80 (1985) 6817-6828.
- [57] Morrow D., "Regional subsurface dolomitization: Models and constraints", Geoscience Canada 25 (1998) 57- 70.
- [58] Coveney R.M., Glascock M.D., "A review of the origins of the metal rich Pennsylvanian black shales, central USA, with an inferred role for basinal brines", Applied Geochemistry 4 (1989) 317- 367.